



سال چهارم، شماره ۱۳، بهار ۱۳۹۳، ۲۸-۱۷



## ارزیابی مهمترین فاکتورهای مؤثر بر فرسایش آبکندی در مناطق خشک و نیمه خشک استان ایلام

نویسنده مسئول، استادیار گروه علوم جنگل، دانشکده کشاورزی، دانشگاه ایلام،

[j.mirzaei@mail.ilam.ac.ir](mailto:j.mirzaei@mail.ilam.ac.ir)

دانشجوی دکتری علوم و مهندسی آبخیزداری، دانشگاه لرستان،

[fnoormohamadi@gmail.com](mailto:fnoormohamadi@gmail.com)[yousefia38@yahoo.com](mailto:yousefia38@yahoo.com) کارشناسی ارشد بیابان‌زدایی دانشگاه ایلام،

۱. جواد میرزایی\*

۲. فرهاد نورمحمدی

۳. علی یوسفی

### چکیده

یکی از مهمترین انواع فرسایش آبی، فرسایش آبکندی است که در آن حجم زیادی از خاک شسته می‌شود. فرسایش آبکندی علاوه بر تولید رسوب زیاد و در نتیجه پرشدن سدها و مخازن، محدوده وسیعی از اراضی را غیرقابل استفاده نموده و سیمای کلی زمین را تغییر می‌دهد. در این تحقیق با توجه به اهمیت فرسایش آبکندی در استان ایلام، تأثیر عوامل محیطی و بیولوژیک بر این نوع فرسایش، در سه منطقه خشک و نیمه خشک دهلران، مهران ( صالح آباد) و ایلام (چوار) مورد بررسی قرار گرفت. پس از تعیین مناطق عمده آبکندی، به منظور مطالعات میدانی در این مناطق، نوع آبکندها مشخص گردید. سپس فاکتورهای شیب، جهت، مساحت حوزه زهکشی، ارتفاع از سطح دریا، کاربری اراضی، درصد پوشش و سنگ ریزه ثبت شد. خصوصیات مختلف آبکند شامل طول، عمق، عرض بالا و پایین و ارتفاع رأس و همچنین نمونه‌های خاک در دو افق سطحی و عمقی در دیواره آبکندها برداشت شد. جهت بررسی تأثیر فاکتورهای مختلف بر فرسایش آبکندی، از آزمون‌های چند جمله‌ای دانکن و پیرسون، همچنین جهت تعیین مهمترین فاکتورهای تأثیرگذار بر فرسایش آبکندی از آنالیزهای چند متغیره استفاده شد. نتایج بدست آمده نشان داد که شیب و ارتفاع از سطح دریا بر فرسایش آبکندی تأثیر معناداری داشته به طوریکه بیشترین فرسایش در طبقه شیب ۱۵ - ۱۰ درصد و در ارتفاعات پایین می‌باشد اما جهت جغرافیایی تأثیر چندانی بر فرسایش آبکندی نداشته است. علاوه بر این، بیشترین میزان فرسایش در کاربری کشاورزی و کمترین آن در کاربری جنگل و از بین عوامل فیزیکی و شیمیایی نیز پارامترهای شن سطحی، EC سطحی همبستگی مثبت و درصد پوشش همبستگی منفی با فرسایش آبکندی داشت. از خصوصیات حوزه زهکشی آبکند نیز مساحت حوزه در فرسایش آبکندی مؤثر بود. بر اساس نتایج این تحقیق عوامل شن سطحی، عمق آبکند و مساحت حوزه از مهمترین عوامل تأثیر گذار بر فرسایش آبکندی هستند.

تاریخ دریافت:

تاریخ پذیرش:

**واژه‌های کلیدی:** فرسایش آبکندی، عوامل محیطی، عوامل شیمیایی، استان ایلام

## ۱- مقدمه

خاک به عنوان یکی از مهمترین انواع منابع طبیعی نقش بسیار عده‌های در زندگی انسان دارد. چهار عامل اصلی تعیین کننده در پتانسیل فرسایش خاک، تیپ خاک، توپوگرافی، اقلیم و پوشش گیاهی می‌باشد و از آنجا که سه عامل اول در کنترل انسان نبوده، لذا پوشش گیاهی و مدیریت حاکم بر آن در کنترل فرسایش و پایداری اکوسیستم بسیار حائز اهمیت می‌باشد (نورمحمدی و همکاران، ۱۳۸۸). پوشش گیاهی نه تنها به صورت حاصلی میان قطرات باران و سطح خاک عمل کرده و از برخورد مستقیم قطرات باران و ایجاد فرسایش پا شمانی ممانعت به عمل می‌آورد بلکه با افزایش نفوذپذیری خاک به دلیل ایجاد شبکه ریشه‌ای وجود بقایای گیاهی در سطح خاک میزان و سرعت جریان سطحی را کاهش داده و به تبع آن از شدت فرسایش نیز می‌کاهد (نورمحمدی و همکاران، ۱۳۸۸). مطالعه فرسایش آبکنندی در برخی از نقاط مختلف کشور نشانگر گسترش فراوان آن بهدلیل شرایط اقلیمی خاص، هدررفت سطح زیادی از اراضی زراعی و روند تخریب اراضی می‌باشد (صادقی و همکاران، ۱۳۸۷). تشکیل آبکند معمولاً در اراضی کم شیب و هموار ۱/۶ برابر اراضی نسبتاً شیبدار است و این میزان در فصل بارش (زمستان و بهار) به ده برابر هم می‌رسد. زیرا رواناب ناشی از بارندگی و ذوب برف فرصت کافی جهت اتحلال و جدا سازی ذرات در اراضی کم شیب را فراهم می‌سازد (Roscco, 1973). فرسایش آبکنندی از چشم‌اندازهای معمول در مناطق نیمه خشک محسوب شده و در سرعت رواناب بسیار موثرند. با عنایت به سرعت توسعه سر آبکندها، این اشکال در اغلب کشورهای نیمه خشک، بخش اعظم رواناب رودخانه‌ها را تولید می‌کنند (poesen, 2003).

Martinez در سال ۲۰۰۴ دریافت که آبکندها متعاقب از بین رفتن پوشش جنگلی بوجود می‌آید، آنها اعلام کردند که در این شرایط تشکیل آبکند از جریانهای سطحی ناشی نمی‌شود، بلکه مقدار آب بیشتری تو سط لوله‌های زیر زمینی خارج می‌شود و بارندگی زیاد پس از حذف پوشش گیاهی باعث فرو ریختن سقف توپل‌ها می‌گردد و شبکه آبکندها در سطح زمین ظاهر می‌شوند. برخی محققین معتقدند که فرسایش ناشی از آبکند یکی از مهمترین چالش‌ها بر سر راه تهیه غذا، سلامت انسان‌ها و اکوسیستم است (Chaplot et al., 2003; Leyland et al., 2008; Gutierrez & Schanbel, 2008) اراضی و اقلیم وجود دارد، و دارای واحدهای سنگ شناسی سست تری هستند مشهودتر است. Gutierrez و Schanbel در سال ۲۰۰۸ با بررسی فرسایش آبکندی در حوزه آبخیزی با پوشش غالب مرتع در جنوب غربی اسپانیا در طی دوره ۰ عساله به این یافته رسیدند که بین سطح آبکند و کاربری اراضی همبستگی مناسبی وجود دارد.

Adam و Jakab نیز در سال ۲۰۱۱ در مطالعه‌ای که در مجارستان بر روی فرسایش آبکنندی انجام دادند، بیان داشتند که تقریباً نیمی از رسوبات ته نشین شده در حوزه از لایه زیر خاکی می‌آیند که نشانگر اهمیت نقش فرسایش آبکندی می‌باشد. در ایران نیز مطالعات گستردۀ ای در خصوص بررسی عوامل مؤثر بر ایجاد فرسایش آبکندی در استان فارس (سلیمان‌پور و همکاران، ۱۳۸۹، صوفی، ۱۳۸۴ و یمانی و همکاران، ۱۳۹۰)، استان خراسان (ثروتی و همکاران، ۱۳۸۷) و استان ایلام (صادقی و همکاران، ۱۳۸۷ و نورمحمدی و همکاران، ۱۳۸۸) صورت گرفته است.

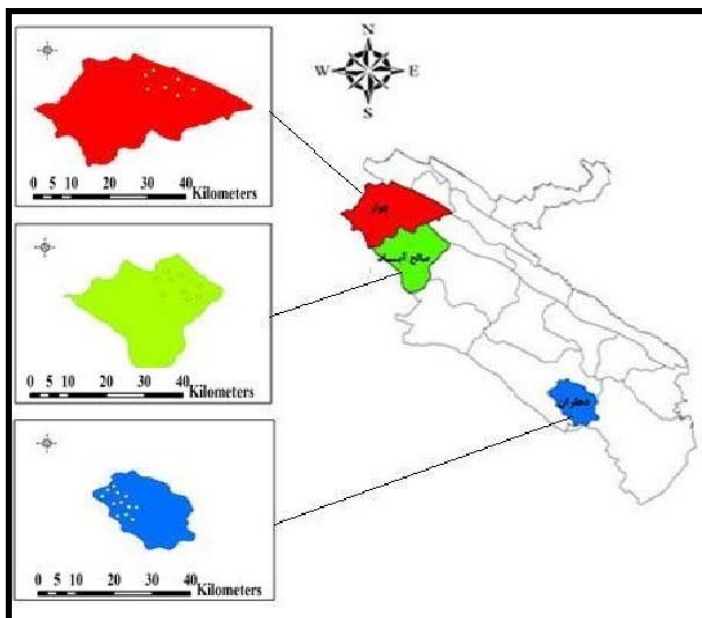
صوفی (۱۳۸۴) با بررسی و مطالعه عوامل موثر در گسترش آبکندهای جنوب فارس به این نتیجه رسید که اولاً مناطق مهم آبکندی عمده‌تاً در اطراف مناطق تو سعه شهری و تمرکز جمعیت می‌باشد، ثانیاً رابطه نزدیکی بین مساحت مناطق آبکندی با مساحت مناطق فاقد پوشش گیاهی و طول جاده خاکی وجود دارد به طوریکه بیشترین مساحت اراضی لخت و بیشترین طول جاده خاکی مربوط به مناطق دارای تمرکز جمعیت و توسعه شهری می‌باشد که دارای مساحت بیشتری از آبکند هستند نتایج ثروتی و همکاران (۱۳۸۷) در خراسان شمالی میین شکل گیری و گسترش فرسایش آبکنندی در اراضی لسی منطقه تحقیق تابعی از ارتفاع متوسط بارندگی و دمای متوسط سالانه هوا، شیب و جهت اراضی، سازند زمین شناسی، منابع اراضی، نوع خاک و ویژگیهای مربوط به آن، نوع و تیپ گیاهی، نحوه استفاده از اراضی می‌باشد. سلیمان‌پور و همکاران (۱۳۸۹) در استان فارس نتیجه گرفتند که عواملی مانند شیب، شوری، اسیدیته و پوشش گیاهی، رابطه معنی داری با پیشروع طولی آبکند دارند، در صورتی که سه عامل اول رابطه مثبت ولی پوشش گیاهی رابطه منفی را نشان داد نتایج نورمحمدی و همکاران (۱۳۸۸) در استان ایلام نشان دهنده تأثیر سرعت رواناب در توسعه آبکند ها در حوزه آبخیز مرتعی دره شهر داشته است. یمانی و همکاران (۱۳۹۰) در تحقیقی در مرودشت استان فارس به بررسی تأثیر فرسایش بر تو سعه سکونت‌گاه‌ها پرداختند. نتایج نشان داد که دشت‌های دامنه‌ای و قاعده مخروطه افکنه‌ها به دلیل فاصله مکانی و نیز بافت خاک و شیب، مناسب ترین اراضی با قابلیت تو سعه سکونت گاه و نواحی پست مرود شست به ویژه اراضی

پیرامون آبراهه ها به دلیل توسعه آبکندها دارای محدودیت توسعه می باشند. صادقی و همکاران (۱۳۸۷، ۱۳۸۸) به بررسی عوامل مختلف موثر بر تو سعه فر سایش آبکنده در استان ایلام در منطقه دره شهر پرداخته اند. نتایج حاکی از تأثیر بافت خاک، مقدار بارش، مقدار شن، فقر مراع و همچنین ارتفاع رأس و طول آبکنده در رسوب زایی آبکندهای منطقه دارد. مطالعات در زمینه فر سایش آبکنده در کشور بسیار محدود بوده و این در حالی است که فر سایش آبکنده به عنوان یکی از مهمترین انواع فر سایش، بهخصوص در قسمتهای جنوبی کشور، باعث تخریب اراضی بسیاری شده و زندگی هموطنان را تهدید کرده است. لذا این تحقیق با هدف بررسی عوامل مختلف تاثیر گذار بر فر سایش آبکنده در مناطق خشک و نیمه خشک استان ایلام صورت پذیرفت.

## ۲- مواد و روش

### ۱- منطقه مورد مطالعه

استان ایلام با ۱۹۰۸۶ کیلومترمربع حدود ۱/۴ درصد مساحت کل کشور را تشکیل می دهد. این استان در غرب سلسله جبال زاگرس بین ۳۱ درجه و ۵۸ دقیقه تا ۳۴ درجه و ۱۵ دقیقه عرض شمالی ۴۵ درجه و ۱۰ دقیقه طول شرقی در گوشه غربی کشور قرار گرفته است. این استان از جنوب با خوزستان، از شرق با لرستان، از شمال با کرمانشاه و از سمت غرب با ۴۲۵ کیلومتر مرز مشترک با کشور عراق همسایه می باشد. مناطق سه گانه مورد مطالعه شامل منطقه چوار در شهرستان ایلام، منطقه صالح آباد در شهرستان مهران و منطقه بیابانی دهلران در شکل ۱ نشان داده شده است.



شکل ۱: نمایی از مناطق سه گانه مورد مطالعه و پرکش آبکندها

در منطقه چوار در هر سه ماه از فصل تابستان، متوسط حداکثر دمای هوا بالاتر از ۳۲ و متوسط حداقل آن بالاتر از ۱۶ درجه سانتی گراد است. در طول این ماهها رطوبت هوا کاهش می یابد. در گرمترین ماه سال (مرداد) نوسان روزانه دمای هوا به بیش از ۱۶ درجه سلسیوس می رسد. میزان حداکثر بارش این منطقه ۵۵۰ میلیمتر در سال گزارش شده است. این منطقه در زون زاگرس چین خورده واقع شده و رخساره های سنگی و رسوبی این زون تحت تأثیر رخدادها و تحولات زمین شناسی به وقوع پیوسته دارای خصوصیات متمایزی نسبت به زون های ساختاری دیگر بوده و به ترتیب از قدمیم به جدید شامل رخساره های دوران پالئوزوئیک، میozوئیک و دوره های نئوژن و کوواتررن می باشد. با توجه به اینکه منطقه چوار دارای بارندگی مناسب و در قسمتهای کوهپایه ای دارای شبیه نسبتاً کمی است، شرایط برای زراعت دیم فراهم شده است (شهریاری و همکاران، ۱۳۸۹).

منطقه صالح آباد در مهران دارای حداکثر دمای هوا ۳۸ و متوسط حداقل آن ۲۰ درجه سانتی گراد می باشد. میزان حداکثر بارش در این منطقه در فصل زمستان و حدود ۴۵۰ میلی متر گزارش شده است. این حوزه در زون ساختمانی- رسمی زاگرس چین خورده واقع گردیده و سیمای ساختاری منطقه، متأثر از تحولات ساختمانی آپی و بیش از آپی است که در مقاطع زمانی پالئوزوئیک و سنوزوئیک به صورت فازهای خشکی زائی و کوهزائی منطقه را تحت تأثیر قرار داده اند، و در نتیجه عملکرد متقابل مؤلفه های فشاری و تنش های ناشی از رویدادهای زمین ساختی منطقه به صورت ساختمان های چین خورده تاقدیسی و ناویدیسی، گسلش، عناصر خطی رورانده و شکستگی های بزرگ مقیاس تظاهر یافته اند.

منطقه بیابانی دهلران نیز در جنوب تا جنوب شرقی استان ایلام قرار گرفته است. این منطقه از نظر طبقه بندي اقلیمی کوپن جزء اقلیم خشک با تابستان های گرم به حساب می آید. بر اساس آمار هواشناسی، متوسط بارندگی  $\frac{264}{4}$  میلی متر، متوسط تبخیر سالیانه ۳۵۵۳ میلی متر در تشتک و  $\frac{317}{4}$  میلی متر در سطح آزاد بوده و متوسط دمای سالیانه  $\frac{31}{4}$  درجه سانتی گراد می باشد (شهریاری و همکاران، ۱۳۸۹). این منطقه نیز در زون زاگرس چین خورده قرار گرفته است. قدیمی ترین سازند موجود در این محدوده مربوط به دوران مژوزوئیک و دوره کرتاسه می باشد. در این دوره سازند های سروک، سورگاه، ایلام، گوری تشكیل شده و پس از آن در ترسیر سازند های پابده، آسماری، گچساران، آگاجاری، بختیاری و بخش لهیبری تشكیل شده است. بخش وسیعی از حوزه را نیز رسوبات آبرفتی کواترنر تشكیل داده است. بطور کلی منطقه به لحاظ پوشش گیاهی و پتانسیل تولید، جزو مراتع ضعیف است که این امر ناشی از شرایط خاص اکولوژی می باشد. گرمای زیاد، تبخیر شدید و بارندگی کم، و ضعیت شکننده ای را در مراتع و محدوده مورد نظر ایجاد نموده و از طرفی چرای مفرط و فشار بی رویه دام و همچنین تبدیل مراتع به اراضی کشاورزی نیز مزید بر علت می باشد. این مسئله سبب از بین رفتن پوشش گیاهی منطقه گردیده که اثرات منفی آن در ایجاد میکروبکلیما و تعادل محیط زیست و حیات وحش به خوبی مشهود است. پوشش گیاهی منطقه از گیاهان دائمی که اغلب بوته، درختچه و علف می باشند تشكیل شده ولی در بعضی قسمت های محدوده مورد نظر بوته ها و درختان بزرگتر نیز به چشم می خورد (شهریاری و همکاران، ۱۳۸۹).

## ۲- روش پژوهشن

### روش تحقیق

با توجه به عکس های هوایی با مقیاس ۱:۴۰۰۰۰ و نقشه های زمین شناسی ۱:۱۰۰۰۰۰ و گزارش های تهیه شده توسط مراکز اجرایی و تحقیقاتی مناطق عمده آبکنندی در استان شناسایی شده و آبکندهای مورد نظر را در مناطق مطالعه انتخاب و جهت انجام کارهای صحرایی و برداشت نمونه های خاک و ثبت دیگر متغیر های مورد نظر انتخاب شدند. در این تحقیق برای طبقه بندي آبکند ها از روش آرجیبولد و همکاران (۲۰۰۳) استفاده شد که بر اساس آن ۱۲ آبکند در منطقه دهلران، ۹ آبکند در منطقه صالح آباد و ۷ آبکند در منطقه چوار مورد بررسی قرار گرفت. نمونه ای از آبکندهای مورد مطالعه در شکل ۲ آمده است.



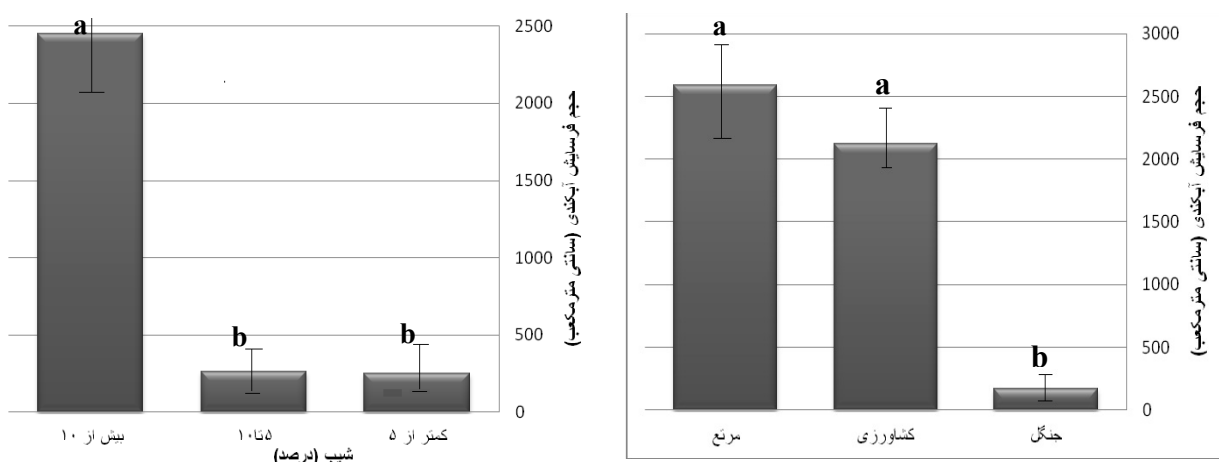
شکل ۲: نمونه ای از آبکندهای مورد مطالعه

بعد از انتخاب آبکندها خصوصیات مختلف مرفولوژیکی آنها شامل ارتفاع رأس، عرض بالا، عرض پایین، عمق، طول، همچنین شیب و مساحت حوزه زهکشی هر آبکند با استفاده از دستگاه موقعیت یاب جهانی (GPS) تعیین و شناسنامه‌ای جدآگانه برای هر آبکند تنظیم گردید. سپس با استفاده از نرم افزار AutoCAD مقاطع برداشت شده ترسیم و میزان حجم فرسايش بدست آمد. از هر آبکند دو نمونه خاک از سطح و عمق خاک برداشت و به آزمایشگاه جهت تعیین عوامل فیزیکی و شیمیایی منتقل گردید و فاکتورهای شامل درصد سیلت، رس، شن، PH، EC، وزن مخصوص، پتانسیل اسمزی خاک تعیین گردید. در مرحله بعد برای تجزیه و تحلیل پارامترهای کیفی، پارامترهای کمی و میزان فرسايش به دلیل غیر نormal بودن داده ها از آزمون های غیر پارامتریک استفاده شد. و در نهایت جهت تشخیص مهمترین پارامترهای مؤثر بر فرسايش آبکندي از تجزیه و تحلیل عاملی و آنالیز رگرسیون چند متغیره استفاده شد (et al., 1988).

### ۳- نتایج

نتایج تجزیه و تحلیل داده ها نشان داد که میزان فرسايش در کاربری های کشاورزی و مرتع به ترتیب بیشترین مقدار را دارا می باشند. همچنین کمترین میزان رسوپ زایی مربوط به کاربری جنگل می باشد. حجم فرسايش در کاربری های مرتع، کشاورزی و جنگل به ترتیب  $40/3585$ ،  $40/3585$  و  $11/170$  سانتی متر مکعب می باشد (شکل ۳). تقسیم بندی آبکندها بر اساس فراوانی مطلق مقادیر شیب عمومی حوزه زهکشی هر آبکند در سه طبقه کمتر از ۵ بین  $10 - 5$  و  $5 - 10$  درصد انجام گرفت. آبکندهایی که در شیب  $10 - 15$  درصد قرار دارند بیشترین حجم فرسايش را نسبت به سایر آبکندها در طبقات مختلف شیب دارا می باشند، و  $64$  درصد از آبکندها ما در این طبقه شیب تشکیل می شوند. همانطور که در جدول ۲ ارائه شده است، پارامترهای وزن مخصوص ظاهری با ضریب همبستگی  $0.509$ ، شن سطحی با ضریب همبستگی  $0.495$  و تأثیر معنا داری بر فرسايش آبکندي در مناطق مورد مطالعه داشته‌اند.

از بین پارامترهای شیمیایی خاک نیز پارامتر EC سطحی با ضریب همبستگی  $0.455$  در حجم فرسايش تأثیر معنا داری داشته است. شیب و مساحت حوزه زهکشی نیز به ترتیب با ضریب همبستگی  $0.767$  و  $0.652$  بر فرسايش آبکندي تأثیر داشته است (جدول ۵). جهت تعیین مهمترین فاکتورهای تأثیر گذار بر فرسايش آبکندي از آنالیز (آنالیز مولفه های اصلی) استفاده شد، برای اینکار از محور  $1$  و  $2$  جهت بالا بودن واریانس (محور  $1 = 29/33$  و محور  $2 = 49/64$ ) و ارزش ویژه ( $\lambda = 7/33$  و محور  $2 = 0.7$ ) استفاده گردید بر اساس نتایج، رویشگاه ها بر روی نمودار به وضوح قابل تفکیک بوده، به طوریکه رویشگاه چوار در سمت راست محور  $1$  و  $2$ ، رویشگاه دهلران در سمت چپ محور  $1$  و رویشگاه مهران در سمت چپ محور  $2$  قرار گرفتند (شکل ۵). با توجه به جدول (فاکتور) پارامترهای ارتفاع از سطح دریا، درصد PH سطحی و عمقی و حجم فرسايش با محور  $1$  همبستگی مثبت داشته‌اند.



### شکل ۳: رابطه بین حجم تولید رسوب آبکندها در کاربری های مختلف و رابطه بین حجم تولید رسوب آبکندها در شیب های مختلف

نتایج حاصل از اندازه گیری پارامترهای خاکی مختلف هر کدام از عوامل خاکی در افق های سطحی و عمقی به شرح مندرج در جدول ۱ نشان داده شده است. همانگونه که نشان داده شده است ضرایب همبستگی بین این عوامل و حجم فرسایش آبکنندی در سه منطقه مورد مطالعه در جداول ۲، ۳ و ۴ ارائه شده است.

جدول ۱: میانگین پارامترهای اندازه گیری شده در مناطق مورد مطالعه

پارامتر	مساحت(متر مربع)	وزن مخصوص ظاهری(گرم بر سانتیمتر مربع)	دهلران	ایلام(چوار)
(dS/m) EC سطحی	۱/۸±۰/۸۶۹۲	۳/۲±۰/۸۸۳۹	۰/۴۸±۰/۴۲۷۴	۰/۴۸±۰/۴۲۷۴
(dS/m) EC عمقی	۱۰/۷±۱/۴۳۶	۳۰/۱±۱/۳۷۷	۰/۴۵±۰/۱۰۶۶	۰/۴۵±۰/۱۰۶۶
pH سطحی	۷/۸±۰/۰۸۲۳	۷/۰۱±۰/۱۰۷۲	۸/۶±۰/۱۲۱۹	۸/۶±۰/۱۲۱۹
pH عمقی	۷/۷±۰/۱۸۵۸	۷/۷±۰/۱۴۰۸	۸/۶±۰/۲۰۸۲	۸/۶±۰/۲۰۸۲
عمق آبکند(متر)	۱۲۹/۲±۳/۶/۲۴	۷۷/۲۷±۴/۴/۴۸	۱۲۷/۱۴±۰/۴/۸۱	۱۲۷/۱۴±۰/۴/۸۱
مساحت(متر مربع)	۱۵۶/۲±۱/۷۴/۰/۶	۱۴۰/۰۹±۱/۶۴/۸۰	۴۰۳/۴۵±۵/۶۲/۳/۷	۴۰۳/۴۵±۵/۶۲/۳/۷
رس عمقی	۰/۰۹۸±۰/۱۱۷	۰/۰۸۴±۰/۳۶	۱/۱۸±۰/۰/۹	۱/۱۸±۰/۰/۹
شن عمقی	۰/۰۱۶±۰/۰/۸۱	۰/۰۱۴±۰/۰/۲۴	۰/۰۳۸±۰/۱۳	۰/۰۳۸±۰/۱۳
سیلت عمقی	۰/۰۵۲±۰/۰/۹۹	۶/۰۵۸±۲/۰/۰۳	۰/۰۳۲±۰/۱۵۶۱	۰/۰۳۲±۰/۱۵۶۱
رس سطحی	۰/۰۱۵±۰/۰/۸۱	۰/۰۲۳±۰/۰/۲۴۵۴	۰/۰۳۰±۰/۱۳۲۵	۰/۰۳۰±۰/۱۳۲۵
شن سطحی	۰/۰۵۳±۰/۰/۹۳	۰/۰۴۶±۰/۰/۱۴۴۹	۰/۰۴۱±۰/۰/۱۷۴۰	۰/۰۴۱±۰/۰/۱۷۴۰
سیلت سطحی	۰/۰۲۱±۰/۰/۰۲۱	۰/۰۴۱±۰/۰/۱۵۳۴	۰/۰۲۸±۰/۰/۱۰۵۵	۰/۰۲۸±۰/۰/۱۰۵۵
پتانسیل اسمزی عمقی	۲/۰۸±۰/۰/۶۶	۱/۰۱±۰/۰/۴۹۵۸	۰/۰۱۶±۰/۰/۰۳۸۴	۰/۰۱۶±۰/۰/۰۳۸۴
پتانسیل اسمزی سطحی	۰/۰۷۶±۰/۰/۳۰	۱/۰۲±۰/۰/۳۳۲۱	۰/۰۱۷±۰/۰/۱۵۳۹	۰/۰۱۷±۰/۰/۱۵۳۹
سنگ	۰/۰۷۰±۰/۰/۷۰۶۷	۰/۰۳۴±۰/۰/۱۷۰۶	۰/۰۰۶۱±۰/۰/۰۹۸	۰/۰۰۶۱±۰/۰/۰۹۸
پوشش	۰/۰۱۳±۰/۰/۲۰۹۷	۰/۰۰۸۵±۰/۰/۱۰۲۰	۰/۰۰۳۷±۰/۰/۰۳۱۰	۰/۰۰۳۷±۰/۰/۰۳۱۰
شیب	۰/۰۱۰±۰/۰/۰۱۹	۰/۰۰۹±۰/۰/۰۴۸۰	۰/۰۰۵±۰/۰/۰۱۴۱	۰/۰۰۵±۰/۰/۰۱۴۱
ارتفاع از سطح دریا(متر)	۶۰/۷۸±۱/۳/۰/۳	۲۰۰/۰۸/۳۲۶۷	۱۰/۲۴±۳/۸۱۱۹	۱۰/۲۴±۳/۸۱۱۹

جدول ۲: ضرایب همبستگی پارامترهای فیزیکی خاک با فرسایش آبکنندی

پارامتر	سطح معناداری	وزن مخصوص ظاهری	ضریب همبستگی
** ۰/۰۰۶	** ۰/۰۰۶	** ۰/۰۰۶	۰/۵۰۹
رس سطحی	۰/۸۹۴	۰/۸۹۴	۰/۰۲۶
رس عمقی	۰/۲۸۴	۰/۲۸۴	۰/۲۱۰
شن سطحی	۰/۰۱۴*	۰/۰۱۴*	۰/۴۹۵
شن عمقی	۰/۷۲۷	۰/۷۲۷	-/۶۹
سیلت سطحی	۰/۲۱۷	۰/۲۱۷	-/۲۴۱
سیلت عمقی	۰/۶۰۰	۰/۶۰۰	۰/۱۰۳

\* معنی دار بودن در سطح احتمال ۹۹٪ \*\* معنی دار بودن در سطح احتمال ۹۵٪

جدول ۳: ضرایب همبستگی پارامترهای شیمیایی خاک با فرسایش آبکندی

ضریب همبستگی	سطح معناداری	پارامتر
۰/۳۱۱	۰/۱۰۸	PH سطحی
۰/۱۷۶	۰/۳۷۰	PH عمقی
-۰/۴۵۵	۰/۰۱۵*	EC سطحی
-۰/۲۰۸	۰/۲۸۹	EC عمقی
-۰/۳۰۸	۰/۱۱۱	پتانسیل اسمزی سطحی
۰/۰۷۹	۰/۶۹۰	پتانسیل اسمزی عمقی

\* معنی دار بودن در سطح احتمال ۹۹٪ \*\* معنی دار بودن در سطح احتمال ۹۵٪

جدول ۴: ضرایب همبستگی خصوصیات فیزیوگرافی حوزه زهکشی آبکندها با فرسایش آبکندی

ضریب همبستگی	سطح معناداری	پارامتر
۰/۷۶۷	۰/۰۰۰**	مساحت حوزه
۰/۶۵۲	۰/۰۰۴۵*	شیب حوزه

\* معنی دار بودن در سطح احتمال ۹۹٪ \*\* معنی دار بودن در سطح احتمال ۹۵٪

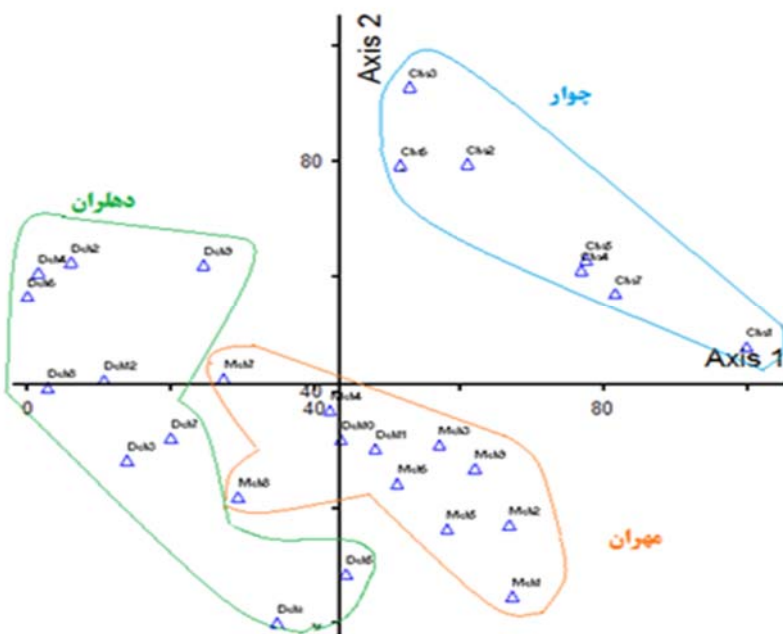
#### ۴- بحث و نتیجه‌گیری

نقشه‌سیم بندی آبکندها بر اساس شیب عمومی حوزه زهکشی هر آبکند در سه طبقه کمتر از ۵، ۵-۱۰ و ۱۰-۱۵ درصد انجام گرفت. نتایج ذشان داد رسویزایی آبکندها در شیب‌های مختلف دارای تفاوت معنی‌داری می‌باشد. بر اساس نتایج فوق آبکندهایی که در شیب‌های ۱۰-۱۵ درصد قرار دارند، دارای بیشترین رسویزایی می‌باشند که با نتایج راهی (۱۳۷۷) مبنی بر این که آبکندها بیشتر در شیب‌های کمتر از ۱۰٪ قرار دارند و اغلب شیب آنها بین ۰ تا ۴ درصد می‌باشد، همخوانی ندارد (شکل ۴). می‌توان علت تولید رسویزایی‌تر آبکندهای طبقه ۱۰ تا ۱۵ درصد را تغییر کاربری مراثع به کشاورزی دیم و فعالیت غیر اصولی از قبیل سخنم در جهت شیب و رعایت نکردن فصل آیش در این طبقه دانست. این نتیجه با مطالعات نورمحمدی (۱۳۸۵) و میررضایی (۱۳۸۶) همخوان نمی‌باشد. نورمحمدی در مطالعات خود دریافت که شیب در کاهش یا افزایش مقدار رسویزایی آبکندهای مورد مطالعه تأثیری ندارد و میر رضایی به این نتیجه رسید که با افزایش شیب رسویزایی افزایش نمی‌یابد. همچنین این نتایج با تحقیقات تامسون (۱۹۴۶)، ثروتی و همکاران (۱۳۸۷)، گابریس و همکاران (۲۰۰۳) مبنی بر تأثیر شیب بالا دست آبکند بر توسعه و گسترش فرسایش آبکنده مطابقت دارد.

جدول ۵: بار عاملی پارامترهای مختلف اندازه گیری شده

فاکتور	محور		محور	
	۱	۲	۱	۲
ارتفاع	۰/۲۹۰۰	۰/۱۹۹۱	EC سطحی	-۰/۳۲۲۲
شیب	۰/۲۲۳۳	-۰/۲۵۳۸	وزن مخصوص	-۰/۱۸۴۸
جهت	۰/۰۴۴۵	۰/۰۶۵۲	رس عمقی	۰/۲۳۵۹
طول	۰/۲۲۵۹	۰/۰۶۸۷	شن عمقی	-۰/۰۸۱۵

عرض بالا	۰/۱۷۷۹	-۰/۲۶۶۶	سیلت عمقی	-۰/۰۲۹۷	-۰/۰۰۱۸
عرض پایین	۰/۰۶۶۰	-۰/۳۱۰۶	رس سطحی	-۰/۰۲۰۲	۰/۱۶۹۵
راس	۰/۱۰۱۱	-۰/۱۹۲۵	شن سطحی	۰/۲۳۸۴	-۰/۲۳۰۹
عمق	۰/۲۵۷۰	-۰/۱۸۸۹	سیلت سطحی	۰/۱۶۴۵	-۰/۰۱۳۴
مساحت	۰/۱۹۳۵	-۰/۰۰۶۱	پتانسیل عمقی	-۰/۰۵۱۹	-۰/۲۸۹۰
عمقی PH	۰/۲۴۹۶	۰/۲۷۰۹	پتانسیل سطحی	-۰/۲۹۸۶	-۰/۱۸۸۲
سطحی PH	۰/۲۷۴۸	۰/۲۹۹۵	سنگ	-۰/۰۳۲۴	-۰/۲۳۴۱
عمقی EC	-۰/۲۵۱۱	-۰/۱۲۶۳	پوشش	-۰/۱۳۹۱	-۰/۲۰۴۵



### شکل ۴: نمودار آنالیز چند متغیره (PCA)

انتخاب یک مدل از میان روابط بدست آمده در این مرحله با استفاده از معیار قابل قبول ضریب تبیین با توجه به درجه آزادی مربوطه و خطای نسبی (RE) تخمین و تایید به صورت رابطه زیر صورت گرفت. روابط خطای نسبی کمتر از ۱۸ درصد و با خطای تایید کمتر به عنوان مدل های برتر انتخاب گردید (صادقی، همکاران؛ ۱۳۸۷ و نورمحمدی ۱۳۸۵).

$$V = 21.0.37 \text{ SAND} + 10.36 \text{ H} + 3.38 \text{ A} - 1.87.2 \quad R^2 = .78 \quad \text{Sig} = .000 \quad \text{RE} = \%18 \quad (\text{ابطه ۱})$$

در این رابطه  $V$  حجم فر سایش آبکندی (متر مکعب)،  $A$  مساحت حوزه زهکشی آبکند (هکتار)،  $H$  عمق آبکند (متر) و Sand شن (درصد) می باشد.

میانگین حجم خاک فرسایش یافته از سه کاربری، دارای تفاوت معنی‌داری می‌باشد به طوریکه کاربری جنگل دارای کمترین و کاربری کشاورزی به شترین مقدار تولید ر سوب آبکنندی می‌باشد. این نتیجه با نتایج نورمحمدی (۱۳۸۵) و میرضایی (۱۳۸۶) مبنی بر عدم وجود تفاوت معنی‌دار در حجم مواد فرسایش یافته در کاربری‌های مختلف متفاوت بود. حال آنکه با تحقیقات والکارسل و همکاران (۲۰۰۰) و زوکا و همکاران (۲۰۰۶) مبنی بر تولید ر سوب بیشتر آبکندها در کاربری کشاورزی همخوان می‌باشد که دلیل این موضوع را می‌توان فعالیت غیر اصولی کشاورزی از جمله شخم در جهت شبیب و تبدیل مراتع به دیمکاری دانست. اراضی که در حال حاضر کاربری زراعت دیم دارند در سالهای نه چندان دور مرتع و جنگل بوده اند که به علت نداشتن مدیریت صحیح و عدم آگاهی مردم

منطقه به منظور کسب درآمد در کوتاه مدت تعییر کاربری یافته اند و در نتیجه با خاطر نداشتن پتانسیل زراعی و هم چنین بهره برداری بیش از توان زمین های فوق، در مناطقی که دارای باران های رگباری هستند و از سازندهای حساس به فرسايش تشكیل شده اند موجب تولید رواناب های زیاد با نیروی تنفسی بالا شده است که در نتیجه فرسايش در این کاربری بیش از دیگر کاربری ها می باشد.

در آنالیز رابطه بین مساحت حوزه زهکشی و فرسايش آبکندی می‌توان دریافت که مساحت تأثیر معناداری با حجم فرسايش خاک دارد. مساحت یکی از مهمترین عوامل تولید رواناب می باشد که در تمامی منابع هیدرولوژیک به اهمیت آن در افزایش میزان رواناب و تأثیر آن بر پیک سیلان اشاره شده است هر چه مساحت حوزه زهکشی آبکندی بیشتر باشد مقدار رواناب بیشتری به آبکند وارد شده و در نتیجه میزان فرسايش آن نیز بیشتر خواهد بود.

بررسی میزان همبستگی مقدار رسوبزایی و پیله آبکندها و خصوصیات مختلف خاک نشان داد که متغیر هدایت الکتریکی با رسوبزایی آبکند ها همبستگی منفی دارد. با توجه به اینکه خاک های که قابلیت هدایت الکتریکی آنها از ۴ دسی زیمنس باشد شور نامیده می شود (احمدی، ۱۳۸۵) و زیاد بودن EC نشان از بالا بودن مجموعه نمکها است که باعث انحلال پذیری خاک شده و هم چنین باعث از هم پاشیدگی بافت و ساختمان خاک می شود.

نتایج این تحقیق هم چنین نشان داد که پوشش تأثیر معنی داری بر فرسايش خاک دارد بطوری که با کاهش پوشش و تخریب آن حجم فرسايش آبکندی بیشتر می شود و با توجه به اینکه در اکثر تیپ های گیاهی مناطق مورد مطالعه سیرقهقرای مراعت در اراضی بالادست کاملاً مشهود است، عموماً اراضی کشاورزی و دیوارهای رها شده محل ایجاد فرسايش آبکندی بوده که در اکثر موقعیت فاقد پوشش بوده و غالباً متکی به بارندگی فصلی می باشد. این نتایج با تحقیقات سلیمان پور و همکاران (۱۳۸۹)، ارینسنر (۲۰۰۸) و لئوبولد (۱۹۷۷) همخوانی دارد. بر اساس نتایج بدست آمده از این تحقیق در رابطه با عوامل مؤثر بر فرسايش آبکندی در مناطق دهلران، صالح آبد و چوار عوامل شن سطحی، عمق آبکند و مساحت حوزه زهکشی دارای بیشترین تأثیر در آبکندی شدن حوزه های مورد مطالعه را داشته اند.

از بین خصوصیات فیزیکی آبکند ها، مساحت بالادست پیشانی آبکند و عمق آبکند به ترتیب با بیشترین ضریب تبیین، از عوامل تأثیر گذار بوده اند. هر چه مساحت حوزه زهکشی آبکند بیشتر باشد مقدار رواناب بیشتری به آبکند وارد شده و در نتیجه میزان فرسايش آن نیز بیشتر خواهد بود. بر این اساس مساحت یکی از مهمترین عوامل تولید رواناب می باشد که در تمامی منابع هیدرولوژیک به اهمیت آن در افزایش میزان رواناب و تأثیر آن بر پیک سیلان اشاره شده است (آرجی بولد و همکاران ۲۰۰۳، صوفی، ۱۳۸۴، صادقی و همکاران، ۱۳۸۷).

متاسفانه علرغم پراکندگی زیاد آبکند ها در محدوده مورد مطالعه و فعال بودن چنین فرسايشی در محدوده مورد نظر هنوز تدبیری در جهت کنترل رشد آبکندها صورت نپذیرفته است، و خطر رشد این اشکال از سوی مسئولین جدی گرفته نشده است.

## ۵- مراجع

۱. احمدی، حسن (۱۳۷۸). *ژئومرفولوژی کاربردی*، انتشارات دانشگاه تهران، جلد ۱، ۶۸۸ ص.
۲. ثروتی، محمد قدوسی، جمال. دادخواه، مهدی، (۱۳۸۷). عوامل موثر در شکل گیری و گسترش فرسايش آبکندی در لس ها. پژوهش و سازندگی در منابع طبیعی، شماره ۷۸.
۳. راهی، غلامرضا، (۱۳۷۷). بررسی مکانیسم و علل فرسايش آبکندی در بندر گناوه. پایان نامه کارشناسی ارشد دانشکده منابع طبیعی دانشگاه تربیت مدرس، ۱۰۶ ص.
۴. سلیمان پور، سیدمحمد، صوفی، مجید و احمدی، حسن (۱۳۸۹). بررسی تأثیر ویژگی های خاک سطحی بر گسترش طولی خندق ها در اقلیم های مختلف استان فارس، مجموعه مقالات چهارمین همایش ملی فرسايش و رسوب.
۵. شهریاری، علی؛ غلامی، حسن؛ فخریه، آرش؛ آرخی، صالح و نوری، سعید، (۱۳۸۹). مقایسه روشهای مختلف پایش پوشش گیاهی در منطقه بیانی عین خوش دهلران با استفاده از RS و GIS، همایش ملی ژئوماتیک، سازمان نقشه برداری کشور.

۶. صادقی، سید حمیدرضا، نور محمدی، فرهاد، صوفی، مجید. یثربی، بنفشه (۱۳۸۸). مدل‌های آلمتری آبکندها در منطقه استان ایلام، پژوهش و سازندگی، شماره ۸۵، ۴۴-۳۹.
۷. صادقی، سید حمیدرضا، نور محمدی، فرهاد، صوفی، مجید. یثربی، بنفشه (۱۳۸۷). برآورد حجم رسوب ناشی از رگبارها در فرسایش آبکنندی با استفاده از مولفه‌های مهم بارش، مجله علوم کشاورزی و منابع طبیعی شماره ۱، جلد ۱۵.
۸. صوفی، مجید (۱۳۸۴) تعیین تأثیر تخریب پوشش گیاهی و توسعه شهری در گسترش آبکندها در جنوب استان فارس، مجموعه مقالات دومین همایش فرسایش و رسوب، تهران، ۶ تا ۹ شهریور.
۹. میر Paxayi، شهرام (۱۳۸۶). بررسی تغییرات آبکندها و عوامل موثر بر آنها در حوزه هلوش در منطقه پلدختر لرستان، پایان نامه کارشناسی ارشد، دانشگاه صنعتی اصفهان، ۸۱ ص.
۱۰. نور محمدی، فرهاد (۱۳۸۵). آلمتری و تولید رسوب ناشی از آبکندهای بخشی از منطقه دره شهر در استان ایلام، پایان نامه کارشناسی ارشد، دانشگاه تربیت مدرس، ۷۸ ص.
۱۱. نور محمدی، فرهاد، صادقی، سید حمیدرضا، صوفی، مجید (۱۳۸۸). ارزیابی ارتباط بین متغیرهای اصلی رواناب و فرسایش آبکنندی در حوزه آبخیز مرتعی دره شهر، مجله مرتع سال سوم، شماره سوم: ۵۳۳-۵۴۵.
۱۲. یمانی، مهدی، موغلى، محمد، کریمی، هوار (۱۳۹۰). فرسایش آبکنندی و تأثیر آن بر توسعه سکونت گاهی در بخش علامرودشت، فصلنامه جغرافیای طبیعی، سال چهارم، شماره ۱۲، تابستان ۲۹، ص.
13. Kertez.A& Gergely,J. (2011) Gully erosion in Hungary, review and case study, Procedia – Socil and Bhavioral Sciences, Volume 19, ,Pages 693- 701, ISSN 1877- 0428.
14. Archibald, O. W., Levesque, J. M. L., De Boer, D.H., Aitken & Delanoy, L. (2003). Gully retreat in a semi – urban catchment in Saskatoon, Journal of Applied Geomorphology, 23:261 – 279 .
15. Canon, H.C., Peart, R. P& Lighton, L. (1988). Tree species diversity in commercially logged Bornean Rain Forest, Science. 281: 1366-1368.
16. Chaplot, v., G. Giboire, P. Marchand & C. Valntin. (2005). Dynamic modeling for gully initiation and development under climate and land- use changes in northern Laos. Catena, 63: 318-328.
17. Gabris, G., Kertesz, A. & zambo, L., (2003). Land use change and formation over the last 200 years in hilly catchment, Gournal of Catena, 50:151-164.
18. Gomez Gutierrez, A. & S. Schnabel. (2008). Gully erosion and land use during the last 60 years in a small rangeland catchment in southwest Spain Geophysical Research Abstracts, Vol. 10, EGU 2008- A-06962.
19. Ireneusz, M (2008). Dating of small gully formation and stablign erosion rates in old gullies under forest by means of anatomical changes in exposed tree roots (Southern Poland). Geomorphology 93, pp: 421-436
20. Leopold, P. D. & Luk, S. H., (1997). Gully erosion and sediment transport in a small subtropical catchment, south china, catena, 29(2): 161-176.
21. Leyland, J & Darby Stephen, E (2008): An empirical conceptual gully evolution model for channelled sea cliffs. Geomorphology, 102, pp: 419-439.

22. Martinez-Casanovas, J. A., Ramos, M.C. & Poesen, J (2004). Assessment of sidewall erosion in large gully using multi-temporal DEMs and logistic regression analysis, *Journal of Geomorphology*, 58:305-321.
23. Poesen, J., Nachtergaele, J., Verstraeten, G. & Volentini, C (2003). Gully erosion and environmental change: Importance and research needs, *Catena* 50:91-133.
24. Roscco, M. G. & Bull, L. G (2000). Some factors controlling gully growth in fine grained sediment: A model applied in Southeast Spain, *Journal of Catena*, 40: 127-146.
25. Tamson, j (1989). Condition for gully formation in the Belgian loam belt and some ways to control them, *soil technology series*. 1:39-51.
26. Zucca, C. & Perutu. R (2006). Effects o land use and Landscape agro pastoral area in Italy. *Catena*. vol. 86, N03, pp(87-95).



## Assessment of the important Factors on Gully Erosion in Arid and Semi-arid Region in Ilam Province

Mirrezaei, J.\*: Corresponding author, Assistant Professor, Forest Biology Department, Ilam University,  
[j.mirzaei@mail.ilm.ac.ir](mailto:j.mirzaei@mail.ilm.ac.ir)

Nourmohammadi, F.: PhD Students of watershed management engineering and science, Lorestan University  
 Yousefi, A.: MSc. of Combatting Desertification, Ilam University

### Abstract

Infiltration is the process of water penetration from the ground surface into the soil and is an important process in the hydrological cycle by which surface runoff and groundwater recharge can be linked. Over the years, the importance of the infiltration process resulted in the development of several simplified analytical models for predicting infiltration. These infiltration models range from entirely empirical to physically based models. The most serious problem associated with infiltration modelling of a catchment is how to express the spatial soil variability. In the present study, various infiltration models were fitted to the observed infiltration data of 27 double ring infiltrometer tests and the best-fit infiltration model for Darabkola watershed was identified and evaluated. In addition, the spatial variability of the selected infiltration model parameters was analyzed using the geostatistical techniques. Results showed that among of four models, the Green - Ampt model could determine the infiltration rate with smallest values of RMSE. Hence, saturated hydraulic conductivity parameter (KS) and suction head at the wetting front (Sw) were estimated for all the test points. Evaluation of spatial variability of these parameters indicated that parameters KS and Sw had the spatial dependencies of 0.49 and 0.25 respectively, showing medium spatial dependencies of both parameters. Also, investigation of interpolation parameter maps showed that in the upland with forest land use, relative to other areas in the watershed, the saturated hydraulic conductivity (KS) and suction head at the wetting front (Sw) have larger (1.57-2.69 cm/hr) and smaller values (12.12-1737 cm), respectively.

**Keywords:** Gully Erosion, Environmental Factors, Chemical Factors, Ilam Province